

• 药剂 •

湿度对肾泰牌康片稳定性影响的研究

姜林¹,郝丽²,聂继红¹(1.新疆医科大学附属中医医院,新疆 乌鲁木齐 830000;2.新疆参茸药业有限公司业务部,新疆 乌鲁木齐 830000)

摘要:目的 研究湿度对片剂稳定性的影响。方法 采用漫反射光谱法测定片剂表面的颜色变化,反相高效液相色谱法测定淫羊藿苷含量变化。结果 湿度越大,含量下降越快,变色越快,变色速度大于含量下降速度。结论 控制片芯水分,工艺中减少引湿性成分,于干燥处存放。

关键词:片剂;漫反射光谱法;高效液相;湿度

Study effects of moisture on stability of bu-sheng-jian-pi tablets

JIANG lin¹, Hao li², NIE ji-hong¹(1. Hospital of TCM Affiliated to xinjiang medical university, wulumuqi 830000, China; 2. Medical corporation of xinjiang, wulumuq 830000, China)

ABSTRACT: OBJECTIVE To study effects of moisture on stability. **METHOD** The contents of Icariin were determined by means of HPLC. Color of tablets surface by diffuse reflectance spectroscopy. **RESULTS** The greater the moisture does, the faster the content low. so dose the colour variation. the rate of colour variation is faster than content variation. **CONCLUSION** Control water of tablets-core. Reduce contacting with humid circumstance in the process of production. Store in the dry place.

KEY WORDS: tablets; diffuse reflectance spectroscopy; HPLC; moisture

1 实验材料及仪器设备

1.1 仪器

LC-9A型HPLC(日本岛津),SPD-6AV紫外检测器(日本岛津),C-R₄A数据处理机(日本岛津),TU-1221型UV/VIS分光光度计(北京GENNERAL公司),CSF-250-3型超声波发生器(济宁超声电子仪器厂)XW-80型旋涡混合器(上海第一医学院仪器厂),LD₄-2型离心机(北京医用离心机厂),FA1604天平(上海天平仪器厂)。

1.2 试药

淫羊藿苷对照品(中国药品生物制品检定所);无水乙醇、甲醇、盐酸、苯丙酮、乙酸乙酯、丁酮、甲酸、石油醚、硫酸等均为国产试剂AR级。

2 实验方法与结果

2.1 含量测定^[1~3]

2.1.1 淫羊藿苷含量测定方法的建立

2.1.1.1 测定波长的选择:淫羊藿苷对照品溶液(0.1388mg/mL)经紫外光谱扫描,270nm为最大波长。结果见图1

2.1.1.2 色谱条件的选择

取本品20片,除去糖衣,研细,取细粉约1g精密称定,置5mL量瓶中,用甲醇溶解并稀释至刻度,超声处理30min,放冷,用甲醇补足减失的体积,滤过,弃去初滤液,取续滤液作为供试品溶液。取淫羊藿苷对照品13.88mg,置100mL量瓶中,加甲醇适量使溶解并稀释至刻度,摇匀,即得0.

1388mg/mL的淫羊藿苷对照品溶液。分别精密吸取对照品溶液与供试品溶液各10μL注入液相色谱仪,色谱条件为:色谱柱shimadzu ODS柱(15cm×4.6mm·粒径5μm);检测器波长270nm;流速1.0mL/min;进样量10μL;柱温20℃;流动相甲醇:水(55:45)。其色谱图见图2,从图中可知理论塔板数按淫羊藿苷计大于2000,淫羊藿苷峰与相邻峰的分离度大于2,分离效果满意。



图1 UV光谱图



图2 淫羊藿苷色谱图

2.1.1.3 空白试验

取1/10处方量的药材(淫羊藿苷除外),加水煎煮至

100mL,加入相应辅料,制成立片剂颗粒,碾细,照含量测定法测定,在淫羊藿苷出峰时间内未见有峰出现。

2.1.1.4 标准曲线的绘制及线性考察

取0.1388mg/mL的对照品溶液,精密量取6、8、10、12、14μL置10mL容量瓶中以甲醇定容,按上述色谱条件准确吸取10μL注入液相色谱仪,以对照品峰面积对对照品的量 c 进行线性回归,得标准曲线方程为 $Y=3296+35234X$ $r=0.9993$ 。线性范围为0.0833~0.1943mg/mL。

2.1.1.5 加样回收率测定

取同一批号已知含量的样品(990427)6份各1g,其中5份加淫羊藿苷对照品按前述方法制备供试品液并测定含量,计算回收率。结果平均回收率为99.0%,RSD为1.47%。

2.1.1.6 精密度实验

对同批制备的样品(990421),按上述方法处理后,连续进样5次,平均含量为0.203mg/片,RSD为0.66%。

2.1.1.7 稳定性实验

日内差:同一份样品按上述方法处理后,在一天之内每隔2h测一次,平均含量为0.203mg/片,RSD为0.70%。

日间差:同一份样品按上述方法处理后,每隔1d测一次,共测5d,平均含量为0.203mg/片,RSD为0.81%。

2.2 肾泰脾康片稳定性研究^[5~18]

2.2.1 漫反射光谱法(DRS)测定remission函数与浓度的关系

2.2.1.1 实验方法:取糖衣片、素片(同一批号)各20片,放入相对湿度91%的干燥器中,于(40±2)℃的恒温箱中加速实验20d,使样品完全变色,将变色样品从230~900nm范围内进行扫描,结果见图3,以反射率变化最大处波长为测定波长,确定糖衣片测定波长为320nm,素片为450nm。然后将变色物质稀释成不同比例分别在320nm和450nm处测定反射率 r ,并换算成remission函数值 θ ,结果见图4。

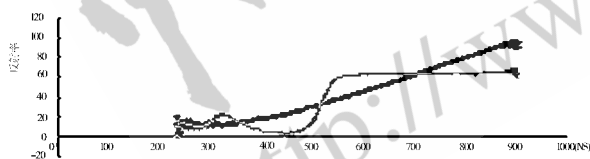


图3 素片及糖衣片DRS扫描图

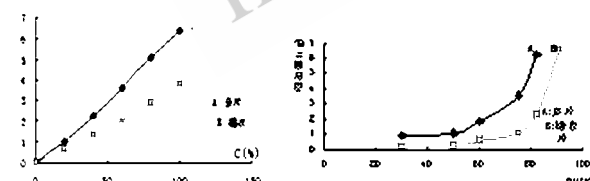


图4 变色物质remission函数值与浓度关系图

2.2.1.2 结论:由图可知remission函数值与变色物质的浓度成直线关系,故可用remission函数值反映颜色的变化。

2.2.2 湿度对制剂稳定性的影响

2.2.2.1 临界相对湿度(CRH)的测定

2.2.2.1.1 实验方法:将素片和糖衣片分别放入相对湿度为30%、50%、60%、75%、82%、91%五个干燥器中,置于(37±1)℃恒温箱中吸湿,测定各湿度下的平衡吸湿量,以平衡

吸湿量对相对湿度作图,得吸湿平衡图,由图可测得CRH,结果见图5。

2.2.2.1.2 结论:由吸湿平衡图可测知糖衣片的CRH约为83.5%,而素片的CRH约为62%,所以素片CRH小,较糖衣片易吸湿,说明包糖衣是防止吸湿的有效措施之一。

2.2.2.2 不同相对湿度对两种片剂的药物含量及remission函数值的影响

①实验方法:将同批号的素片和糖衣片各分成等重量的四份(每份15片),把八份样品分别放入相对湿度50%、60%、75%、82%的四个干燥器中,置于(37±1)℃恒温箱中吸湿,使其达到吸湿平衡,然后把不同吸湿量的样品密封于称量瓶中,置90℃恒温下加速反应。分别于0,3,6,9,12h取样进行淫羊藿苷含量测定及反射率 r 测定,并将反射率换算成remission函数值 θ ,结果见表2。

表2 不同湿度条件下两种片剂含量及remission函数值数据表

湿度(%)	加热时间(h)	C素(mg/g)	C糖(mg/g)	θ素	θ糖
82	0	0.4325	0.4077	1.85	1.7067
	3	0.4195	0.3851	2.5372	2.1637
	6	0.4089	0.3648	3.3868	2.6315
	9	0.3916	0.3399	4.4401	3.1961
	12	0.3792	0.3123	5.6084	3.7221
	0	0.4102	0.4418	1.7054	1.6769
75	3	0.3901	0.4308	2.2534	2.0568
	6	0.3706	0.4188	2.8737	2.4368
	9	0.3521	0.4067	3.5882	2.8342
	12	0.3294	0.3924	4.2084	3.1495
	0	0.4165	0.4456	1.6553	1.6528
	3	0.3979	0.4361	2.1326	1.9734
60	6	0.3801	0.4283	2.6364	2.2851
	9	0.3629	0.4175	3.2335	2.6092
	12	0.3435	0.3998	3.6625	2.8766
	0	0.4278	0.4536	1.5821	1.6181
	3	0.4102	0.4456	1.9734	1.8858
	6	0.3981	0.4363	2.3382	2.1472
50	9	0.3870	0.4279	2.7129	2.3140
	12	0.3759	0.4185	3.0251	2.5704

C素:素片中淫羊藿苷含量。θ素:素片的remission函数值。C糖:糖衣片中淫羊藿苷含量。θ糖:糖衣片的remission函数值。

②数据处理:通过对不同湿度条件下糖衣片和素片的含量 C 取对数后,以 $\log C$ 对加热时间 t 进行线性回归,得直线方程,结果见图6,同时将remission函数值 θ 取对数,以 $\log \theta$ 对加热时间 t 进行线性回归,线性关系良好,得直线方程,结果见图7,根据直线方程,得到不同湿度条件下淫羊藿苷含量变化速度常数以及remission函数值 θ 变化速度常数(变色

反应速度常数),结果见表 3。

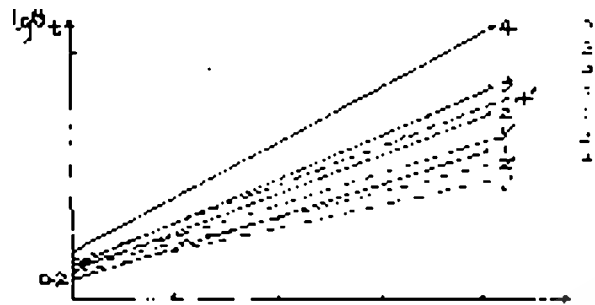


图 6 $\log C$ 与 t 关系图

图 6 中 1,2,3,4 为素片湿度 82%, 75%, 60%, 50%; 1',2',3',4' 为糖衣片湿度 82%, 75%, 60%, 50%

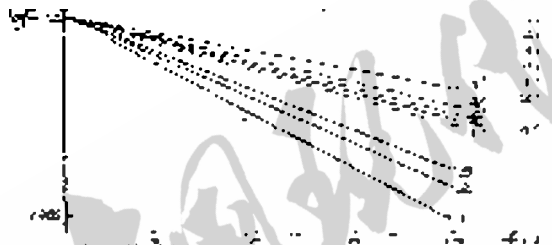


图 7 $\log \theta$ 与 t 关系图

图 7 中 1,2,3,4 为素片湿度 50%, 60%, 75%, 82%; 1',2',3',4' 为糖衣片湿度 50%, 60%, 75%, 82%

表 3 不同湿度条件下两种片剂含量变化速度常数及 remission 函数值 θ 变化速度常数表

湿度 (%)	K 素 ($\times 10^{-2}$)	K 糖 ($\times 10^{-3}$)	K^0 素 ($\times 10^{-2}$)	K^0 糖 ($\times 10^{-2}$)
50	1.057	6.7248	5.3829	3.8537
60	1.5921	8.6823	6.6833	4.6267
75	1.8048	9.8261	7.5746	5.2708
82	2.1940	11.054	9.2596	6.4991

K 素: 素片淫羊藿苷含量变化速度常数; K 糖: 糖衣片淫羊藿苷含量变化速度常数; K^0 素: 素片 remission 函数值 θ 变化速度常数; K^0 糖: 糖衣片 remission 函数值 θ 变化速度常数

③结论: 从表 3 可以看出无论是含量变化速度, 还是 remission 函数值 θ 变化速度(变色速度), 它们都随湿度的加大

(吸湿量增加)而加快, 说明湿度越大(吸湿量越大)则含量下降越快, 变色越快。以糖衣片与素片比较, 含量下降和变色速度都较慢, 说明了糖衣层的防湿作用。以含量变化速度与变色速度比较, 变色速度远大于含量下降速度, 含量变化不能灵敏地反映色泽的变化, 而颜色明显变化, 含量下降不一定很大, 提示可试用测定 remission 函数值来预测有效期。

参考文献

- [1] 王宜祥, HPLC 法测定延生护宝液中淫羊藿苷含量. 中成药, 1996;18(5):11.
- [2] 原雪梅等. . 还春口服液质量标准的实验研究. 中医药学报, 1995; (6):30.
- [3] 夏新华. 五仙颗粒剂中淫羊藿总黄酮含量测定. 中成药, 1994;16(8):20.
- [4] 于洪年. 大孔树脂-紫外法测定骨质增生止痛液中淫羊藿苷含量. 中成药, 1996;18(3):14.
- [5] 柏燕等 漫反射光谱法研究维生素 C 与片剂辅料的相互作用 药学学报, 1988;23(21):152.
- [6] 郑慎 漫反射光谱法在固体制剂稳定性研究中的应用 医药工业, 1981;(1):15.
- [7] 魏树礼等 漫反射光谱法和线性变温法在研究维 C 稳定性中的应用 医药工业, 1983;(7):13.
- [8] Pope D G and Lach J L: pharm Acta Helv, 1975, 50(6):171.
- [9] Akers M J. pharm Sci, 1976, 11(1):1.
- [10] Lach J Let. J pharm Sci, 1970, 59, 1261.
- [11] Blang S M et al. J pharm Sci, 1972, 61(11):1771.
- [12] Wen-Hung Wu et al. J pharm Sci, 1970, 59, 1234.
- [13] Pope D G et al. Canad J pharm Sci, 1975, 10, 128.
- [14] Fairbrother J E. pharm J, 1983, 230, 327.
- [15] Turi P et al. J pharm Sci, 1972, 61, 181.
- [16] 庞贻慧编. 药物稳定性预计测方法. 人民卫生出版社, 1984 年.
- [17] 杨基森主编. 中药制剂设计学. 贵州科技出版社, 1991 年.
- [18] 中华人民共和国药典 2000 版. 二部.